

飞机液压装置的 计算和结构

[苏联] T. M. 巴什塔 著



国防工业出版社

飞机液压装置的計算和結構

(第三次增訂本)

[苏联] T. M. 巴什塔

顾瑞龙 譯

聶亞雷 張炳瀛 校

國防工業出版社

1966

內容簡介

本書介紹液壓系統各種部件和裝置的結構、計算和特性分析。主要內容包括各種類型的液壓馬達、油泵、作動筒、分配裝置、安全裝置、流量調節器、隨動裝置、密封、過濾器和其他輔助裝置等。

本書的特點是敘述比較全面，由淺入深；內容比較豐富。對液壓技術中的基礎問題有比較詳細的闡述，如對工作液體基本特性的介紹就占全書篇幅的十分之一以上。對一些重要元件的敘述，則有全面、深入、理論和實際結合的特點，如對油泵、液壓馬達、各種閥類、隨動系統的敘述等都是這樣。對附件的敘述，內容也比較豐富，如密封、過濾器等幾章收集了各工業先進國家最近幾年的資料，這是其他書籍少見的。

本書可供工廠、研究機關中從事液壓傳動的工作人員和大專院校師生參考。

РАСЧЕТЫ И КОНСТРУКЦИИ
САМОЛЕТНЫХ ГИДРАВЛИЧЕСКИХ УСТРОЙСТВ
〔苏联〕 Т. М. Башта
ОБОРОНГИЗ 1961

飛機液壓裝置的計算和結構

顧瑞龍譯
森亞雷 張炳瀛校

國防工業出版社出版

北京市書刊出版業營業許可證出字第074號

新华书店北京发行所发行 各地新华书店經售
国防工业出版社印刷厂印装

787×1092 1/16 印張 215/8 505千字

1966年3月第一版 1966年3月第一次印刷 印数：0,001—2,150册
统一书号：15034·1035 定价：（科六）2.70元

目 录

緒論 5

第一章 工作液体及其基本特性

液体的重度、可压缩性和粘度	13
約定粘度单位	15
液体粘度是温度的函数	17
液体粘度是压力的函数	18
油的机械强度和化学安定性	19
油的挤压	20
空气和气体在液体中的溶解	21
空气和液体的混合液	22
未溶于液体中的空气对液压系统 工作的影响	25
合成液体的应用	29
液压冲量的传递速度	30
液压冲击	30
液柱的波动压力	31
导管水力学的基本概念	32
液体的局部压力损失	35
液体在窄缝（毛细缝）中的流动	39
毛细缝的阻塞现象	50

第二章 油泵和液压马达

旋转附件理论的基本问题	52
液体可压缩性和油泵零件弹性变形对 泄漏量的影响	54
液压附件的供油量和功率	56
活塞式油泵和马达	65
径向活塞泵和液压马达	66
产生在附件中的力	67
活塞的运动学和动力学	70
油泵的供油量	72
径向活塞泵和马达的结构	74
轴向活塞式油泵和液压马达	79
活塞的运动速度	82
活塞运动的加速度	82
油泵的供油量	83

端面配油油泵的气穴現象特性	84
理論功率和扭矩	85
作用在支承-配油盘和油缸体端接 間隙中的力	86
減少滑动副磨损的结构措施	90
空间型油泵和马达的常见结构	91
旋板（叶片）式油泵	101
齿輪泵	103
齿輪泵的供油量	103
齿輪泵中的功率损失	106
作用在齿輪泵軸承上的載荷	111
液体在齿谷中的压缩	114
液流的脉动	117
用在飞机中的齿輪泵结构	118
齿輪式液压馬达	121
齿輪泵的设计問題	122
多級油泵和多齒輪油泵	123
油泵的卸荷	124
变量油泵系統	131

第三章 旋转作用的液压传动

传动速度的容积调节	139
液压传动的效率	142
等速度液压传动	144
差动型传动	145
液压差动传动	147

第四章 动力作动筒

直线运动的动力作动筒	149
在行程末端带有阻尼装置的作动筒	150
高压作动筒的强度计算	153
动力作动筒活塞定位用的机械锁	154
迴轉运动的液动机（动力作动筒）	155

第五章 分配装置

轉閥式分配裝置	157
---------	-----

滑閥式分配裝置	158
摩擦力和柱塞的液压“卡死”	160
滑閥中的液流液动力(反作用力)	169
帶伺服作用的滑閥分配器	174
帶電傳動的滑閥	177
對圓柱形滑閥結構和製造的要求	180
平面滑閥	180
分配閥裝置	182
帶射流管的分配裝置(繼動器)	187
安全閥和減壓閥	191
安全閥的計算	192
液流液动力對閥的作用	195
帶伺服作用的安全閥	197
差動閥	198
杆型安全閥	200
恒壓減壓閥	202
節流裝置	203
等流量節流裝置(調節器)	205
遠控液壓裝置	209
輔助附件和裝置	213
液壓氣動蓄壓器	222
液壓氣動蓄壓器中空氣的壓縮和 膨脹過程	224
液壓氣動蓄壓器工作參數的選擇	225
液壓氣動蓄壓器的強度計算	227
液壓系統和附件的試驗	228

第六章 液压随动裝置

變量油泵原理圖	233
在駕駛杆上模擬舵面“感覺”的裝置	234
帶迴轉式和旋轉式液動機的系統	236
變量泵系統	238
液壓隨動系統的靈敏度和精度	240
不同因素對系統靈敏度的影響	244
系統的快速性	245
液壓隨動系統的穩定性	247
影響系統穩定性的因素	247
提高液壓助力器穩定性的方法	249
帶階梯形通口的滑閥	250

振動能量的阻尼	251
液壓助力器在飛機中的布置方法	256
應急裝置	256
液壓助力器的試驗	260

第七章 密封裝置

縫隙密封	264
彈性金屬漲圈密封	264
可動聯接的皮碗密封	268
矩形截面的橡皮圈密封	270
圓形截面的橡皮圈密封	273
各種因素對密封圈壽命的影響	278
密封圈和槽尺寸的確定	281
密封圈失去接觸壓力的原因	283
旋轉聯接的密封	285
徑向型密封	285
端面型密封	293
固定端接(聯接)密封	305
柔軟隔離器的密封	307
用於高溫工作條件的密封	307

第八章 导管和輔助附件

提高導管耐久性的方法	312
關於採用導管的建議	315
軟管	317
導管的迴轉聯接和彈性聯接	319
油箱	321

第九章 液體的過濾

過濾方法	323
沾污微粒的測量	324
過濾理論的基本問題	325
常用的過濾器型式	327
過濾原理圖	341
過濾器實際計算公式	342
過濾器特性的繪制	343
參考文獻	345

緒論

液压在飞机装备中的作用

在不同形式的飞机輔助动力系統中，应用最广的是电气系統和液压（靜液式）系統。

現在，这两种系統在飞机上的应用範圍已明确划定：液压系統基本上用在动力裝置及傳动裝置（飞机的“肌肉”）中，而电气系統則用在指揮裝置（飞机的“神經”系統）中。

在現代飞机上，液压裝置应用範圍很广：用于飞机操纵系統中；用于收放起落架、机翼的襟翼、各种魚鱗板及艙門等；用于操纵前輪；用于空气动力 制动 及机輪的刹车系統中；用于雷达装备、武器装备中等。

在飞机上，液压傳动获得广泛应用的原因，主要是它的外形尺寸較小，重量較輕。如現代液压旋轉馬达的外形尺寸，仅为同功率电机外形尺寸的 12~13%；液压泵和馬达的重量，仅为同功率类似用途的电气元件重量的 10~20%。譬如，轉速为每分钟 2500~3000 轉及压力为 200~250 公斤/厘米²的液压泵，它的每 1 匹功率的重量不超过 0.20 公斤，而現代发电机每 1 匹功率的重量是 1.5~2.0 公斤。

應該指出，上述液压附件的重量值及体积值（外形尺寸）并不是极限的。

除上述优点以外，迴轉（旋轉）作用的液动机和同功率的电动机相比，其輸出軸的扭矩和轉子慣性矩的比值較高。

實踐證明，电动机的慣性矩平均占其所傳动的机构的总慣性 矩的 50%以上，而对帶迴轉式液压馬达的系統来讲，該值一般不超过 5%。

由于液压附件的慣性比电气附件的小，所以在完成指揮信号时有較高的加速性能和較小的迟滞時間。这对快速随动机构，尤其对飞机操纵傳动是特別重要的。

旋轉作用液压馬达的慣性质量，不超过同功率电动机的 10%。應該指出，起动中等功率的电机需要一秒到几秒（这取决于电机的尺寸及裝置），而同功率的液压馬达的起动時間不超过 0.1 秒。試驗表明，在功率为 5 馬力的旋轉液压馬达反向时，用于反向并使反方向速度达到 2500轉/分所需时间仅为 0.03~0.04 秒。至于直線运动的液压傳动，其所需時間为带电机的类似傳动所需時間的幾十分之一，在个别情况下为几百分之一。

液压系統的优点尚有輸出速度可能不間断（无級）調節，可能有較高程度的減速，运动平稳、均匀并稳定，寿命长，效率高等。除此以外，这种系統在結構上易 于防止过載，能保証自振的阻尼。同时，其制造亦简单。

液压系統重要的性能还在于，不論单个参数，如压力、旋轉速度、液体容积的改变、反向等控制，或是参数組合的控制都很简单。此外，液压系統可使傳动附件停止在給定范围内任一中間位置上。

液动机的載荷特性的衡定性（剛度）与电动机不同。这一点可由 在不同的旋轉速度、

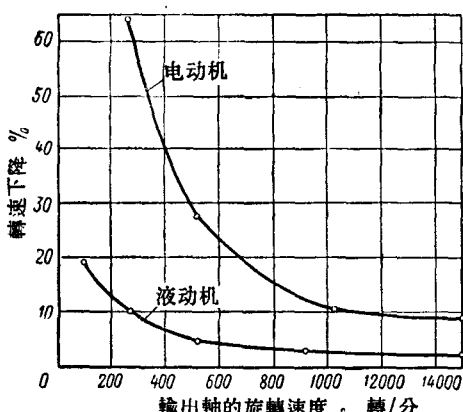


图 1 液动机和直流电动机输出轴旋转稳定性图

負載下原动机輸出軸轉速下降变化曲線（图 1）来加以証明。与电动机不同，液动机可以在时间上无限制地以最低速度工作，同时保持給定的角速度和載荷关系特性不变。在液动机內，除因液体的泄漏及摩擦而損失的不大的一部分能量以外，全部輸入能量都轉为有效功。

液压傳动及装备具有可靠和寿命长的特点（油泵和液动机的工作期限在有載荷工作下達 5000~10000 小时）。

此外，液压傳动可以由熟练程度較低的人員来操作，并能在任何气候条件下工作；液压系統具有良好的反向性能。

但是，在傳递能量方便程度及指揮傳递快速性方面，液压系統比电气系統差。因此，在很多情况下，采用綜合的电气液压系統更为合理，在这种系統中可以利用电气的优点及液压的上述优点。利用电能来傳动液压分配裝置，可以使这些裝置安装在飞机座舱外，还可将油泵安置于靠近消耗液压能的附件附近。此外，在液压隨动系統中，利用电气可以补偿其特性的某些限制。

應該指出，在压力为 280 公斤/厘米² 或更高时，液压系統中带液体的导管重量将比傳递同样功率的電線的重量还輕。

上列的优越性可使設計師在飞机中广泛地采用液压系統。某些类型飞机尺寸的增大，以及飞行速度的提高，就要求采用比目前更为强有力的液压伺服机构（液压放大器），以便在空中及地面上操纵飞机。与此同时，对这些系統的可靠性及安全性的要求也大大提高了。

由于航空技术日趋复杂，对飞机液压裝置的要求提高了。譬如，在飞机飞行时，由于结构的空气动力加热及航空发动机发散的热量，超音速飞机的液压系統必須在高温的条件下工作。

經驗証明，在夏天靠近地面作音速飞行时，飞机蒙皮溫度可达 100°C；而速度再提高一倍时，则溫度达 200°C[●]。

在高空作高速飞行时，飞机蒙皮的溫度将因周圍介质溫度較低而稍低于上述值。但即使在这种条件下，溫度值仍較高。譬如，在 12000 米高空，白天溫度为 -50°C 以下，当飞行速度为音速的 1.5 倍时，飞机蒙皮溫度达 +60°C；当速度为两倍或三倍音速时，溫度相应地提高到 150~370°C。除了由于空气动力加热产生的热量，在飞机的某些部分还附加有航空发动机发散的热量（在发动机的表面溫度达到 175~400°C）以及液压附件本身发散

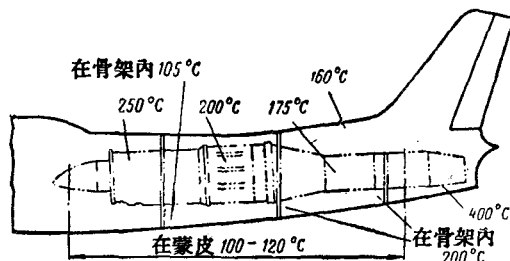


图 2 在飞行速度为 1.5M 时温度分布的示意图

的热量。因此，现代快速飞机的液压附件是在高温条件下工作的。这在飞行速度相当于一倍半音速时飞机温度分布示意图中可以看出（图 2）。

随着飞行速度的增高及采用更大功率的发动机，液压系统的温度工作条件更加恶化。这从在气流滞止点温度升高 ΔT 的已知公式中看得很清楚：

$$\frac{\Delta T}{T} = 0.2M,$$

式中 T —— 周围介质的绝对温度；

M —— 飞行 M 数。

可以设想，随着飞行速度的增加，飞行器蒙皮的温度在最近几年内将达到 500°C 。

试验表明，在高温下密封件及液压附件工作液体的分子链首先破坏。因此，寻找适用于高温下工作的新型密封件和新工作液的研究就显得迫切了。在这些温度条件下也必须用新的滤油材料，因为在高于 130°C 时纸质滤油器被破坏（粘连过滤介质的成分被冲洗掉）。需要有新的轻合金来制造液压附件的壳体，同样也要求有导管、弹簧等零件的新材料。此外，在高温条件下现有的节流装置特性的稳定性被破坏，油泵的工作恶化等。所以有必要改善液压附件的结构。

飞机静压传动工作原理

飞机制造业中的液压传动是属于静压（容积）式的附件，其特征为主动环节和被动环节之间实际是刚性联系，这种联系为液体的高容积弹性模数所保证。

图 3 所示即为此类传动的原理图，图中有两个被活塞封闭、并以导管相联的筒式容器：容器 1 是油泵，而容器 2 为液动机。在这个原理图内有任何液压系统图都具备的基本工作元件。

显然，在容器 1 和容器 2 完全密封及液体实际不可压缩的情况下，活塞 a_1 及 a_2 的位移可以用它们所经过的体积恒等方程式来表示：

$$h_1 f_1 = h_2 f_2, \quad (1)$$

式中 h_1, h_2, f_1 和 f_2 —— 相应为活塞 a_1 和 a_2 的位移及面积。

根据方程式 (1) 可得以下诸式：

$$\frac{h_2}{h_1} = \frac{f_1}{f_2} = \frac{d_1^2}{d_2^2}; \quad (2)$$

$$h_2 = h_1 \frac{f_1}{f_2} = h_1 \frac{d_1^2}{d_2^2}. \quad (3)$$

忽略液压阻力及活塞 a_1 及 a_2 的摩擦可得：

$$\frac{P_2}{P_1} = \frac{pf_2}{pf_1} = \frac{d_2^2}{d_1^2}; \quad (4)$$

$$P_2 = P_1 \frac{f_2}{f_1} = P_1 \frac{d_2^2}{d_1^2}, \quad (5)$$

式中 p —— 容器中液体的单位压力；

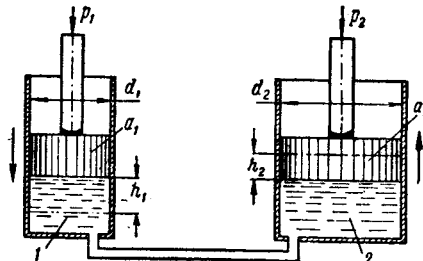


图 3 液压传动原理图

P_1 和 P_2 ——液体在活塞 a_1 及 a_2 上的靜压力的作用力。

假定，活塞 a_1 移动行程 h_1 值所经历时间为 t ，即可求得活塞运动速度：

$$U_1 = \frac{h_1}{t}, \quad (6)$$

液体压力在活塞上的作用力 P_1 乘以其运动速度 U_1 即得功率公式：

$$W = P_1 U_1 = p f_1 U_1, \quad (7)$$

式中 U_1 ——活塞 a_1 的运动速度。

考虑到 $U_1 f_1$ 表示液体流量 Q ，并經換算使功率公式以通用的单位表示，即得

$$N = \frac{p Q}{7500} \text{ (馬力)}, \quad (8)$$

式中 Q ——液体流量（工作元件所經過的体积）或几何供油量（厘米³/秒）；

p ——液体压力（公斤/厘米²）。

从图 3 的原理图可見，所得諸式在容器 2 作为泵，容器 1 作为液动机的情况下也是正确的，即上述的靜压系統是可逆的。这种可逆性对旋轉作用的液压系統是重要的，在这些系統中可以利用结构相同的附件分別作为油泵和液动机。

每一飞机液压系統根据用途不同，都是由这些或那些附件組成的，附件結構之多是无法一一全部描述的。但是，它們的工作原理是共同的，即用液体以流量和压力的形式傳递位能，并借助于适当的机构（液动机）变为机械能。

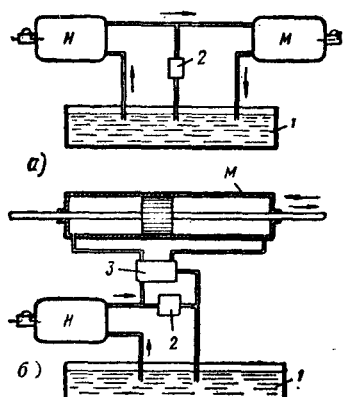


图 4 旋转 (a) 和往复 (b)

运动的液压传动原理图

原理图 4 为液压傳动最简单的形式，它由彼此用导管或油腔联通的油泵 H 、液压馬达（液动机） M 、油箱 1 以及限制液体压力超过規定值的安全閥 2 組成。油泵从油箱中吸油并供油到液动机，液动机可以是旋轉运动的（見图 4 a），也可以是直線往复运动的（見图 4 b）。

在第二个系統（图 4 b）中有一个分配裝置，用它来改变从油泵 H 到液动机（动力作动筒） M 的油液流通的方向，也就是改变动力活塞运动的方向（反向）。

显然，在附件絕對密封及油液不可压缩的前提下，液动机應該以一定速度旋轉（或移动），以使由油泵供給的液体通过工作腔流走。因此，在上述假定的条件下，得到油泵和液动机間的剛性运动学联系。譬如，对旋轉运动的傳动系統而言，可以与一般的皮帶輪傳动相比拟，其差別在于主动（油泵 H ）和被动（馬达 M ）环节間的联系是液体的压缩作用。

油泵和液动机間的运动学联系是基于油液的实际不可压缩性及其液流的連續性的。在液体沒有泄漏的条件下，可用下式表示：

$$Q_n = Q_n f_n = U_n f_n, \quad (9)$$

式中 Q_n 及 Q_n ——在单位時間內油泵及液动机工作环节所經過的理論体积；

U_n 及 U_n ——这些工作环节的線速度；

f_n 及 f_n ——工作环节的面积。

为使被动环节的运动反向并调速，即改变油液流向及流量值，可以采用专门的分配装置和调节（节流）装置，或采用可调流量（供油量）的泵。

由带节流调节的直线运动传动的原理图（如图 5 所示）可见，借助于分配阀（开关）5 及节流阀 2，既可改变动力活塞的方向，又可改变其速度。用来调节液体流量的节流阀可以放在压力油路（见图 5 a）中，也可放在回油路（见图 5 b）中。由油泵供给的剩余液体在调节速度时经安全阀 6 溢流。

以下将把联结油箱和油泵的导管段叫作吸油路；联结油泵和动力作动筒（液动机）工作油腔的导管段叫作压力（工作）油路；在活塞作用下引导油液从油缸进入油箱的导管段叫作回油路。显然，从分配器到作动筒的两段油路，根据活塞运动方向的改变，轮流为回油路或压力油路。

带气压液体蓄压器 8 及油泵自动卸荷阀 10（见图 5 c）的原理图获得广泛的应用，这些原理图应用在操纵起落架、降落襟翼等系统中。当气压液体蓄压器 8 中的

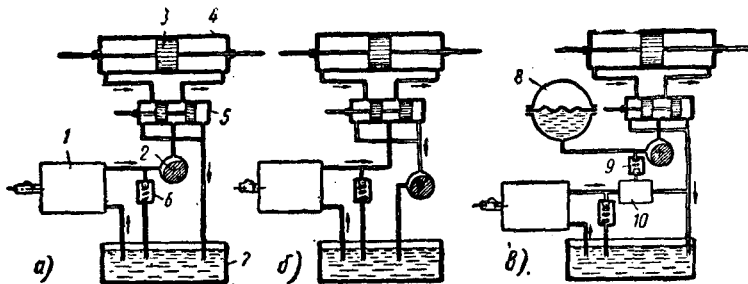


图 5 带节流调节的液压系统原理图

压力升到所需值时，卸荷阀 10 自动地将油泵 1 接通油箱 7；此时作动筒由蓄压器供油。为使油泵与蓄压器分隔，采用了单向（封闭）阀 9。系统中尚有安全阀 6。动力作动筒 4 的活塞 3 的运动反向用分配装置 5 实现。

液体压力值的选择

在原则上，容积式油泵能无限地发展高压，但是实际上，压力值为承受液体压力负荷的油泵零件的强度特性及油泵的密封性所限制。

从式 (8) 得出，提高液压传动系统中的液体压力，可以在保持或稍微增加外形尺寸及重量的情况下提高功率，或在同样功率情况下减小其外形尺寸。

由于功率是正比于压力，所以压力值实际上是在不断地提高。譬如，在一些国家中飞机液压系统的压力，在 1935~1940 年期间从 56 增到 150 公斤/厘米²，直到 1948 年还停留在这个水平上；从 1948 年到 1954 年压力升高到 210 公斤/厘米²，目前则到达 280 公斤/厘米²。

关于用压力高于 200 公斤/厘米² 的液压系统来降低重量的合理性的问题，到现在为止还是有争论的，因为曾认为提高压力将引起液压系统可靠性的降低。但是，实践证明，210~280 公斤/厘米² 的压力无论在生产中，或是在使用中都未引起任何麻烦。压力为 280 公斤/厘米² 系统的飞机的使用经验肯定了其可靠性●。甚至很多专家，其中包括本书作者，认为提高压力能增加液压系统的可靠性，因为由于系统各组成部分外形尺寸缩小，减低了它们受损害的可能性。

同样也曾假定过，随着压力的提高增加了着火的危险性，因为导管可能破裂及附件密封性可能被破坏。但是用光孔直径约为0.2毫米的导管试验表明，假如相应于较低压力(140公斤/厘米²以下)的液体低速流动的情况下，可以用喷灯的火焰移近流出液柱将液体点燃，而在相应于压力为280公斤/厘米²的液流速度的情况下，用同样的方法不能点燃液体：只要将火源(灯的火焰)拿开，流束的燃烧就停止。精确估价在提高压力后所得减轻重量的好处是不可能的。但是，当压力从140公斤/厘米²提高到210公斤/厘米²时，液压系统的重量减轻了6~8%；当压力从210增加到280公斤/厘米²时，重量减轻了12~16%。譬如，某一飞机的设计经验表明，当压力从175公斤/厘米²增到280公斤/厘米²时，液压系统的重量从382降低到306公斤，而且液压油箱、导管及液体的重量从139公斤降到110公斤；主起落架动力作动筒的重量从24.3降到14公斤●。

图6所示为飞机液压系统改为高压时重量减轻的特性曲线。

采用高压液压系统的优点之一是在制造动力作动筒及其它小直径圆柱形零件时，充分利用了优质钢的强度。因为圆柱体的重量反比于筒壁的允许应力值，所以筒壁的截面在采用优质钢时可以减小；此时以重量特性而论，这种附件将能和由轻合金制成的附件相竞争，轻合金因其抗疲劳应力的性能较低，最好不采用。

应该指出，对现有制造液压系统组成附件的材料来说，由增加压力引起的重量下降有一极限。因为在继续增加压力时，由于必须增加这些组成附件的壁厚而使液压系统的重量增加。

作为图解说明，图7所示为飞机液压系统重量和系统工作液压压力关系的计算图。

显然，对于强度更高的材料来讲，与系统最小重量相适应的曲线转折点将移到更高的压力区。

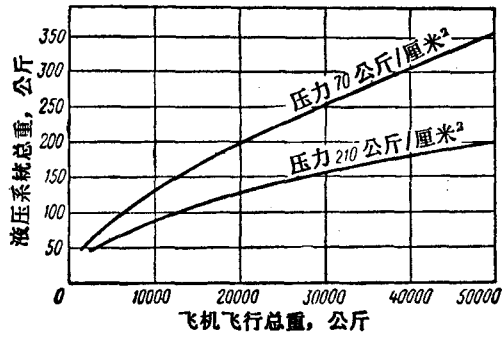


图6 液压系统重量和压力的关系

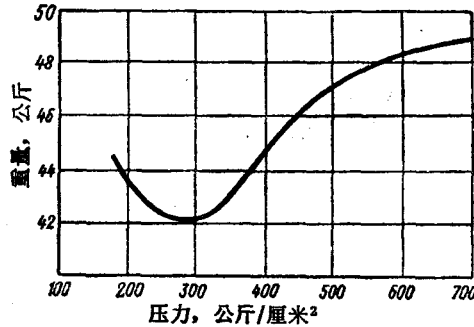


图7 液压系统重量和压力关系曲线

高压不仅在飞机制造业中被采用，而且在机械制造业的许多其他部门中被采用。

由于液压系统压力的提高，产生了解决一系列新问题的必要性。压力的增加首先引起提高液压附件的零件强度和刚度的必要性，因为否则会不可允许地增加结构间隙而引起液体泄漏的增加。

零件的刚度不足，特别是滑阀式分配器或别的柱塞式附件的滑阀壳体刚度不足，能引起柱塞卡死或在它移动时增加摩擦力。因为滑阀壳体截面一般是任意形状的，装柱塞的筒

● 見8頁注解。

壁的厚度也不同。显然，在这种情况下，由于工作液体高压作用引起筒的弹性变形将不是均匀的。柱塞孔可能变形，以致在某一段间隙增加，而在另一段则减小，因此滑阀的柱塞可能在筒中卡死。

导管、液体及液压系统的其他组成部分的弹性会影响系统在高压下的工作。这种弹性能引起压力的脉动及失去系统稳定性，同样能降低油泵容积特性。

油泵旋转速度及液体的气穴现象

容积式油泵的供油量在一定限度内正比于其转速，所以在同样供油量情况下，提高转速能减小油泵的重量和外形尺寸。因此，一般采用高转速油泵，其转速在个别情况下达到9000~12000转/分。但是，随着油泵转速的提高，增大了产生气穴现象的危险——从液体中分离出蒸汽及空气（液体局部沸腾），这是由于液流的局部压降及随后在高压区产生的蒸汽凝结所造成的，因而液流的连续性被破坏。随着气穴现象的出现油泵的供油量下降，产生油液的乳化，而采用带滑阀分配器的油泵时，压力油路中便产生剧烈的压力频率振动及油泵轴承上的冲击载荷，而使油泵过早损坏。

还应该指出，成滴液体内部的抗张应力是极小的；譬如，在实际条件下，油液的破裂应力在长久载荷下不超过0.004公斤/厘米²。因此，一般认为液体上的拉应力不存在。

气穴现象是在被吸入液体的液流的压力下降到相当于在该温度下该液体饱和蒸汽的压力时产生的。可以近似地认为，在20°C时用于液压系统矿物油饱和蒸汽的弹性（压力）为0.01公斤/厘米²，而在t=60°C时为0.02公斤/厘米²。在t=20°C时T-1牌号煤油饱和蒸汽的弹性为0.0394公斤/厘米²，在t=60°C时为0.0747公斤/厘米²。当压力降低到小于上述数值时液体就开始沸腾，汽泡受油流吸引而被带入较高压区域并在那里凝结。

以高速充满凝结汽泡所形成空腔的液体微粒的动能变为压力，并引起局部的液压冲击，随之而来的是在该点压力急剧的升高。

出现气穴现象时，材料的破坏不是汽泡产生的地方，而是汽泡凝结的地方。

局部气穴的外部表现形式为特有的由液压冲击引起的噪音，它导致液压附件壳壁及其他零件的局部浸蚀破坏。在局部气穴现象时产生浸蚀破坏是因为液流在对体壁的液压冲击处的压力超过材料的弹性极限。首先被破坏（腐蚀）的是零件的锐边。液压冲击壳壁，一开始造成微观的凹陷，随着腐蚀过程的扩大，这些凹陷就成为材料破坏的发源地。这也就是受气穴现象作用的表面呈海绵状的原因。

气穴现象并不是所有时候都遍及液体的整个体积，它可能仅限于某一低压区。此时，只有液压附件的个别零件或某些部分受到气穴现象而破坏。材料的缺陷，首先是零件表面在机械加工后的粗糙及刀痕促进微观凹陷初期的形成。因此，用改善表面加工光洁度的办法可以提高抗气穴的强度。

机械强度高、而化学稳定性又好的材料，对气穴破坏具有最大的抵抗能力。强度最低的是铸铁及碳素钢，最高的是青铜及不锈钢。增大材料强度，通常能提高抗气穴强度。譬如，不锈钢强度从HB 140增到HB 400提高抗气穴强度12倍。碳素钢也一样。铸铁的抗气穴强度非常低，而且实际上不因其硬度提高而增加。

气穴现象可以产生在导管中，也可以在液流先局部收缩，然后又扩大的所有装置中，

譬如在开关、活門、薄膜、噴嘴及其它地方等。当在导管中产生气穴現象时，导管的阻力急剧增长，因而其流通能力下降。

当飞机升高时由于外界压力降低，在导管中可能产生气穴現象。此时气穴現象在低压导管（吸油管）的大部分甚至全长产生。于是导管中的液流变为两相的，即由液相和汽相组成。

在蒸汽析出初期，小汽泡在运动的液体中均匀分布；然后汽泡扩大，浮上来并在导管截面的上部运动，或多或少地占去导管的部分截面。当导管截面不大时，会形成蒸汽塞，液-气相的运动为交叉脉冲式地进行。显然，导管的流通能力随着汽相的增加而下降，并可能降低到不能允許的数值。

混合在液体中的空气（气体）会促使液流的断續及气穴現象的产生。

特別不希望在泵中产生液体的气穴現象。泵中产生气穴現象的可能性取决于泵入口的液体压力值、泵的轉速及泵的結構特点。

泵中气穴現象常出现在其工作元件（活塞、叶片及其他压挤元件）吸油行程的时候，因为有时在泵內吸油路中局部压降低于在該溫度下液体飽和蒸汽的压力。

气穴現象产生的条件取决于油泵轉速，并且，当油泵进口处的絕對压力足以克服液体在油泵油路中运动的阻力及液体本身的慣性时的轉速称为允許轉速。

随着气穴現象的出現，油泵的供油量下降，产生特有的噪音及油液的乳化，还觀察到在压力油路中压力剧烈的振动，油泵零件經受冲击載荷，一般它会使油泵提前损坏。

显然，为了防止气穴現象，油泵进口压力应既能克服在吸油路中液压压力损失，又能克服吸油段液柱的慣性。

用目前已知的办法，只能部分地提高液压附件抗气穴强度。所以不應該允許气穴状态的发生，也就是必須保証在系統所有各点上的压力要在必需溫度范圍內超过系統所采用液体飽和蒸汽的彈性。

为减少气穴現象的破坏作用，采用表面加工质量較好的高强度防锈材料（鉻鎳鋼）。

通常，材料抗气穴破坏的强度随着其机械强度或化学（氧化）稳定性的提高而提高，两种性能都好的材料其結果为最好。实践表明，不銹鋼硬度从 HB 150 提高到 HB 400~420，其抗气穴强度提高十倍多。同样，提高强度可以使碳素鋼的抗气穴强度提高許多倍。但是，用这些鋼制成的零件在气穴現象条件下，不能工作到所要求长的时间。

在抗气穴現象方面，硬青銅的强度最高，鑄鐵最低，而且提高鑄鐵硬度实际上并不能使其抗气穴强度提高。

在本书中，除叙述理論基础及某些液压附件的结构外，作者力求最完整地叙述其工作特点、試驗方法及使用經驗。这些資料能使設計工程师更順利地設計液压系統及其附件，而使現場工程师能更順利地使用液压系統并进行維护和檢查。

作者认为有必要叙述根据使用和設計經驗对某些附件提出的要求。

現在，本书（第三版）和第二版（1951年）不同之处是本书大部分經修改和补充。

本书叙述了工作液体及其主要特性、油泵及馬达、傳动、动力作动筒、分配装置、随动裝置、密封裝置、导管、輔助附件及滤油器等。

所有上述附件应用于現代飞机的不同液压系統中。

第一章 工作液体及其基本特性

液体的重度、可压缩性和粘度

液压传动中的工作介质是液体。液压传动的工作过程由液体的特性所决定。

液体的物理特性中，最重要的是重度、可压缩性、粘度、机械强度和化学安定性。

液体重度的特征是其单位体积的重量 γ ，即

$$\gamma = \frac{G}{V} = \frac{Mg}{V} = \frac{V\rho g}{V} = \rho g, \quad (10)$$

式中 G ——液体某一定体积 V 的重量；

M ——液体该体积的质量；

ρ ——液体的密度；

g ——重力加速度。

表 1 中所列为几种液体的重度 γ 和密度 ρ 的值 ($t = 15^\circ\text{C}$)。

在温度改变时，液体的重度和密度稍有变化。温度变化对单位体积的重量和重度的影响，可由门德列也夫公式求出：

$$\gamma_t = \frac{\gamma_{15^\circ}}{1 + \beta_t(t - 15^\circ)} \quad (11)$$

在一新温度下密度相应地由下式求出：

$$\rho_t = \frac{\rho_{15^\circ}}{1 + \beta_t(t - 15^\circ)}, \quad (12)$$

式中 t ——给定温度 ($^\circ\text{C}$)；

γ_t 及 ρ_t ——在给定温度下待求的液体重度和密度；

γ_{15° 及 ρ_{15° ——在 15°C 时的重度和密度；

β_t ——与液体在温度为 15°C 时的密度 ρ 为准的体积膨胀系数。在 15°C 时各种密度的石油产品，其体积膨胀系数值如下：

ρ_{15°	0.70	0.80	0.85	0.90	0.92
β_t	0.00082	0.00077	0.00072	0.00064	0.00060

飞机液压系统中所采用的油的体膨胀系数，可取为 $\beta_t = 0.00065$ 。

由于在实际常用的温度和压力下，滴流液体的密度与重度受温度的影响很小，在大部

分液压計算中完全可以认为密度和重度是常值。但是在个别情况下，必须考虑到液体的热膨胀。譬如，被分配器或液压锁封閉在动力作动筒中的液体的膨胀能引起油路系統及作动筒的破裂。在这种情况下，为了消除油压的升高，常安置专门的热安全閥。这对超音速飞机更为重要。在这些飞机中，空气动力制动会引起高溫。

液体的可压缩性的評价指标是相对压缩系数 β ，也就是单位压力改变时液体体积的相对变化：

$$\beta = \frac{1}{\Delta p} \frac{\Delta V}{V}, \quad (18)$$

式中 V ——液体体积；

ΔV ——压力变化 Δp 时，体积 V 的变化。

从而

$$\beta = \frac{1}{E},$$

式中 E ——液体容积彈性模数。所以可压缩性在数量上也可以用容积彈性模数来評定。在相对不大的压力（300公斤/厘米²以下）下，水的彈性模数值可认为 $E = 20000$ 公斤/厘米²；用于液压系統中的矿物油的彈性模数值为 13500~17500 公斤/厘米²。

实际上，在压力为 150~200 公斤/厘米² 压力的窄范围内，对目前飞机液压系統常用的各种牌号的油来讲，可以认为在压力变化 1 公斤/厘米² 时油的体积平均改变之值为

$$\Delta V = \beta V = V \times 7 \times 10^{-5}, \quad (14)$$

式中 V ——大气压下油的体积。

由于容积彈性系数值較高，在許多技术計算中，液体的可压缩性可以忽略，而认为液体是不可压缩的。但是在个别情况下，可压缩性关联到装置的工作，所以應該考慮。特別是液体的該特性被用于設計飞机起落架及其他机器的全液压減震器时，其中的压力达 3000~5000 公斤/厘米²。

可压缩性的值取决于液体种类（图 8）。如用于飞起落架全液压減震器中的輕矿物油，在压力为 3500 公斤/厘米² 下，可以压缩 17%（以初始体积为准）。

粘度 液体反抗剪切变形或液层滑动的性能称作粘度。

粘度基本上取决于分子間的相互作用，并且是液体最易在数量上測量的基本常数之一。該常数对导管中油液流动的計算及机器零件潤滑等具有很重要的实际意义。所以，很多研究工作者从事于液体粘度問題的研究。但在实际应用中，十分充实和可用的液体及其混合液粘度的理論至今还没有。在这領域內，各种实验工作基本上可归纳为研究粘度测定法，确定液体粘度同成分之間或粘度同混合液間的关系曲線，以及选择粘度同成分或粘度同溫度的实验关系等。至于液体和混合液的粘度与压力值間的关系問題研究得还少。

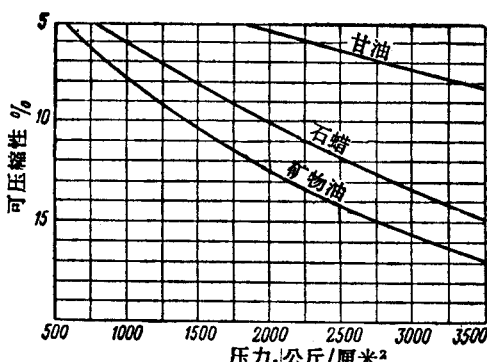


图 8 液体可压缩性特性曲线

在法向速度梯度为 1 的条件下（也就是在法向单位长度上液体运动速度改变为 1 的条件下）液体两滑动邻层单位面上的摩擦力称作绝对粘度系数，并用 μ 表示。

在 MKTCC (米·公斤·力·秒) 单位制中，绝对粘度的单位认为是两面积为 1 米²的液层以 1 米/秒·米的速度梯度相对运动时的切向力。其单位的量纲为 $[\mu] = \text{公斤} \cdot \text{秒} / \text{米}^2$ 。

在 CFC (厘米·克·秒) 制中，粘度用泊 ($n\eta$) 表示。若使两面积为 1 厘米²的平行平板作相对运动，其速度梯度为 1 厘米/秒·厘米时所需力为 1 达因时，则该液体粘度为 1 泊，该粘度系数的单位用 μ_p 表示，其量纲为 达因秒/厘米² 或 克秒/厘米²。[●]

粘度小的液体的绝对粘度系数以厘泊 μ_{cp} 表示，且 $\mu_{cp} = 0.01\mu_p$ 。

在研究液体运动时，不仅需要考虑粘度，而且要考虑液体粘阻力同惯性力的比值。这样，在液压计算中就出现了粘度 μ 和密度 ρ 的比值，称之为运动粘度，并以 v 表示：

$$v = \frac{\mu}{\rho}, \quad (15)$$

式中 μ —— 绝对粘度系数 (克·秒/厘米²; 公斤·秒/米²);

ρ —— 液体密度。

在 CFC 制中，运动粘度系数的量纲为 厘米²/秒；运动粘度的单位为 厘米²/秒 (cst)。

在 MKTCC 制中，运动粘度系数用米²/秒表示。

约定粘度单位

在实用中，液体的粘度通常是用恩格列尔度或恩格列尔秒来表示，这是用粘度计测定的，其法是使液体流经一定尺寸（直径为 2.8 毫米）的精加工孔（管）。在该仪器中，求出在给定温度下 200 厘米³待测定液体在自重作用下从圆筒中经该定径毛细管流出所需时间 t ，然后再求该时间 t 和温度为 20°C 的 200 厘米³的水流经同一容器所需时间 t_b 的比值。因此，液体恩氏粘度（即恩格列尔度）即为比值：

$$^{\circ}\text{E} = \frac{t}{t_b}. \quad (16)$$

水的流出时间为 $t_b = 50 \sim 52$ 秒。

将恩氏粘度转换为运动粘度的公式很多，其中也有简化公式

$$10^6 v = 7.31 ^{\circ}\text{E} - \frac{6.31}{^{\circ}\text{E}} (\text{米}^2/\text{秒}), \quad (17)$$

或

$$v = 0.0731 ^{\circ}\text{E} - \frac{0.0631}{^{\circ}\text{E}} (\text{厘米}^2/\text{秒}). \quad (18)$$

在实用中，粘度大的液体用下式是足够精确的

$$10^6 v = 7.6 ^{\circ}\text{E} (\text{米}^2/\text{秒}). \quad (19)$$

在某些国家中，用列德乌德秒 (R) 及谢包尔特秒 (S) 单位测量粘度，也相当普遍。列德乌德秒（商业秒）用于英国较普遍，谢包尔特秒用于美国。

为简化换算，在表 2 中列有厘泡 (cst)、恩氏度、谢包尔特秒及列德乌德秒诸粘度表示值的关系。

● 原文误为达因/厘米²秒和克/厘米²秒。——校者

表 2

厘 池	°E	S	R	厘 池	°E	S	R
1	1.00	30.0	26.2	140	18.43	637.0	567.0
1.40	1.1	34.0	29.2	150	19.74	683.0	608.0
2.8	1.20	37.5	32.0	160	21.06	728.0	648.0
3.9	1.30	41.1	35.0	170	22.37	774.0	689.0
5.00	1.40	45.0	38.0	180	23.69	819.0	729.0
6.25	1.50	49.0	40.9	190	25.0	864.0	769.0
7.45	1.60	52.6	43.8	200	26.3	910.0	810.0
8.50	1.70	56.5	46.8	210	27.6	955.0	850.0
9.00	1.80	60.0	49.7	220	28.9	1001	891.0
10.70	1.90	64.0	52.6	230	30.3	1046	931.0
11.80	2.00	67.9	55.5	240	31.6	1091	972.0
12.80	2.10	71.5	58.5	250	32.9	1137	1012
13.80	2.20	75.1	61.4	260	34.3	1182	1053
14.80	2.30	79.1	64.3	270	35.5	1228	1093
15.70	2.40	83.0	67.3	280	36.8	1273	1134
16.60	2.50	86.8	70.2	290	38.2	1319	1174
17.50	2.60	90.8	73.2	300	39.4	1364	1215
18.40	2.70	94.2	76.1	310	40.8	1410	1255
19.30	2.80	98.0	79.1	320	42.1	1455	1296
20.20	2.90	102.0	82.1	330	43.4	1500	1336
21.20	3.00	105.0	85.0	340	44.7	1546	1377
22.80	3.20	113.2	90.9	350	46.1	1591	1417
24.50	3.40	120.0	96.7	360	47.4	1637	1458
26.10	3.60	128.0	102.1	370	48.7	1682	1498
27.70	3.80	135.0	107.0	380	50.0	1728	1539
29.3	4.00	142.5	113.9	390	51.3	1773	1579
30.9	4.20	150	120	400	52.6	1819	1620
32.5	4.40	157.6	125.9	410	53.9	1864	1660
34.1	4.60	165.6	132.0	420	55.3	1909	1701
35.7	4.80	172.0	137.9	430	56.6	1955	1741
37.3	5.00	180.0	144.0	440	57.9	2000	1781
41.2	5.50	195.0	156.0	450	59.2	2046	1822
45.1	6.00	216.5	172.3	460	60.5	2091	1862
49.0	6.50	230.0	184.0	470	61.8	2137	1903
52.9	7.00	253.0	201.5	480	63.2	2182	1943
56.8	7.50	272.0	216.2	490	64.5	2228	1984
60.6	8.00	290.0	230.5	500	65.8	2273	2024
64.5	8.50	308.0	245.0	510	67.1	2318	2065
68.4	9.00	326.5	259.0	520	68.4	2364	2105
76.0	10.00	363.0	288.0	530	69.7	2409	2146
80	10.54	365.0	325.0	540	71.1	2455	2186
85	11.20	388.0	345.0	550	72.4	2500	2227
90	11.86	411.0	365.0	560	73.7	2546	2267
95	12.51	433.0	385.0	570	75	2591	2308
100	13.70	456.0	405.0	580	76.3	2637	2348
110	14.48	501.0	446.0	590	77.6	2682	2389
120	15.80	547.0	486.0	600	78.9	2727	2429
130	17.11	592.0	527.0	620	81.6	2818	2510